

# Annexe B

## Solutions des exercices

### B.1 Chapitre 1

#### Exercice 1.1.2 page 24

$$\langle x_0, p_0, \sigma | x_0, p_0, \sigma \rangle = \frac{1}{(\pi\sigma^2)^{1/2}} \int dx \exp(-(x-x_0)^2/\sigma^2) = \frac{1}{(\pi)^{1/2}} \int dX \exp(-X^2) = 1$$

C'est une intégrale Gaussienne, voir eq.(A.1.1), avec le changement de variable  $X = \frac{x-x_0}{\sigma}$ .

**Exercice 2 page 43** Il y a une infinité d'autres possibilités plus ou moins explicites. En voici un exemple simple.  $(W_k)_k$  défini par

$$W_0 = V_0$$

$$W_k = \frac{1}{\sqrt{2}} (V_k + V_{-k}), \quad W_{-k} = \frac{1}{i\sqrt{2}} (V_k - V_{-k}), \quad \text{si } k > 0$$

On remarque que  $W_k(x) = \sqrt{\frac{2}{L}} \cos\left(\frac{k2\pi x}{L}\right)$ ,  $W_{-k}(x) = \sqrt{\frac{2}{L}} \sin\left(\frac{k2\pi x}{L}\right)$  pour  $k > 0$ .

**Exercice 4 page 51** Vérifions la relation  $\langle x|\hat{x}|\phi \rangle = x \langle x|\phi \rangle$ . On a en effet  $\langle x|\int x'|x' \rangle \langle x'|dx'|\phi \rangle = \int x' \delta(x'-x) \langle x'|\phi \rangle = x \langle x|\phi \rangle$ .

Remarque : une telle écriture n'est pas correcte mathématiquement car  $|x\rangle \notin \mathcal{H}$ . L'outil mathématique approprié est le théorème spectral. L'idée est d'introduire le projecteur  $\hat{P}_x = \int_{-\infty}^x |x\rangle \langle x| dx$  et d'écrire de façon équivalente  $\hat{x} = \int_{-\infty}^{+\infty} x dP_x$ .

**Exercice 5 page 53** on a

$$\begin{aligned}
 \tilde{\psi}_{x_0, p_0, \sigma}(p) &= \langle p | x_0, p_0, \sigma \rangle = \int dx \langle p | x \rangle \langle x | x_0, p_0, \sigma \rangle \\
 &= \frac{1}{\sqrt{2\pi\hbar}} \frac{1}{(\pi\sigma^2)^{1/4}} \int dx \exp\left(i\frac{(p_0 - p)x}{\hbar}\right) \exp\left(-\frac{(x - x_0)^2}{2\sigma^2}\right) \\
 &= \sqrt{\frac{\sigma}{\hbar\sqrt{\pi}}} \exp\left(i\frac{x_0 p_0}{\hbar}\right) \exp\left(-i\frac{x_0 p}{\hbar}\right) \exp\left(-\frac{(p - p_0)^2}{2(\hbar/\sigma)^2}\right) \quad (\text{B.1.1})
 \end{aligned}$$

où l'intégrale Gaussienne se calcule par la formule (A.1.2). Remarquer la similarité de l'expression obtenue pour  $\tilde{\psi}_{x_0, p_0, \sigma}(p)$  avec celle de  $\psi_{x_0, p_0, \sigma}(x)$ , mis à part facteur de phase constant.

**Exercice 1.6.5 page 70**

1. Partant de  $\langle A \rangle(t) = \langle \psi(t) | \hat{A}(t) | \psi(t) \rangle = \langle \psi | \hat{U}(-t) \hat{A}(t) \hat{U}(t) | \psi \rangle$  avec  $\hat{U}(t) = \exp(-i\hat{H}t/\hbar)$ .  
On dérive en  $t = 0$  :  $\frac{d\langle A \rangle(t)}{dt} = \langle \psi | \frac{i\hat{H}}{\hbar} \hat{A} - \hat{A} \frac{i\hat{H}}{\hbar} + \frac{d\hat{A}}{dt} | \psi \rangle$  donnant le résultat souhaité.
2. Pour  $\hat{A} = \hat{H}$  supposé indépendant du temps, cela donne  $\frac{d\langle H \rangle}{dt} = 0$  qui montre la conservation de l'énergie moyenne au cours du temps.
3. On a  $d\langle \hat{x} \rangle / dt = \frac{1}{i\hbar} \langle [\hat{x}, \hat{H}] \rangle = \frac{1}{i\hbar 2m} \langle [\hat{x}, \hat{p}^2] \rangle = \frac{1}{m} \langle \hat{p} \rangle$  où la dernière égalité utilise une relation de la page 363. De même  $d\langle \hat{p} \rangle / dt = \frac{1}{i\hbar} \langle [\hat{p}, \hat{H}] \rangle = \frac{1}{i\hbar} \langle [\hat{p}, V(\hat{x})] \rangle = -\langle \frac{dV}{dx}(\hat{x}) \rangle$ .

## B.2 Chapitre 2

**Exercice 2.1.5 page 94** par définition,  $\langle x | \hat{T}_\lambda | \psi \rangle = \langle x - \lambda | \psi \rangle$ ,  $\forall | \psi \rangle$ . Donc  $\langle x | \hat{T}_\lambda^+ = \langle x - \lambda |$ . Donc  $\hat{T}_\lambda^+ | x \rangle = | x - \lambda \rangle$ . Ensuite,  $\hat{T}_\lambda$  est un opérateur unitaire, et  $\hat{T}_\lambda^+ = \hat{T}_\lambda^{-1} = \hat{T}_{-\lambda}$ . donnant  $\hat{T}_{-\lambda} | x \rangle = | x - \lambda \rangle$ .

**Exercice 2.1.7 page 97**

1.  $\hat{U}(t_0) = \exp\left(\frac{-i}{\hbar} \hat{H} t_0\right)$ . En effet si on dérive  $|\psi(t + t_0)\rangle = \hat{U}(t_0) |\psi(t)\rangle$ , par rapport à  $t_0$ , on obtient  $\frac{\partial |\psi(t + t_0)\rangle}{\partial t_0} = \left(\frac{-i}{\hbar}\right) \hat{H} \hat{U}(t_0) |\psi(t)\rangle = \left(\frac{-i}{\hbar}\right) \hat{H} |\psi(t + t_0)\rangle$  qui est l'équation de Schrödinger. Par ailleurs pour  $t_0 = 0$ , on a bien  $\hat{U}(t_0 = 0) = \hat{I}$ .
2. On a

$$\begin{aligned}
 \frac{\partial \langle x | \psi_{x_0} \rangle}{\partial x_0} &= \frac{\partial}{\partial x_0} \psi(x - x_0) = -\frac{\partial}{\partial x} \psi(x - x_0) = -\frac{\partial}{\partial x} \psi_{x_0}(x) = -\frac{\partial}{\partial x} \langle x | \psi_{x_0} \rangle \\
 &= \left(\frac{-i}{\hbar}\right) \left(-i\hbar \frac{\partial}{\partial x}\right) \langle x | \psi_{x_0} \rangle = \left(\frac{-i}{\hbar}\right) \langle x | \hat{p} \psi_{x_0} \rangle
 \end{aligned}$$

car  $\hat{p} \equiv -i\hbar \frac{\partial}{\partial x}$ . Donc  $\frac{\partial |\psi_{x_0}\rangle}{\partial x_0} = \left(\frac{-i}{\hbar}\right) \hat{p} |\psi_{x_0}\rangle$ . Notant  $|\psi_{x_0}\rangle = \hat{T}_{x_0} |\psi\rangle$ , comme dans la question (1), on déduit que  $\frac{\partial \hat{T}(x_0)}{\partial x_0} = \left(\frac{-i}{\hbar}\right) \hat{p} \hat{T}(x_0)$  et donc  $\hat{T}(x_0) = \exp\left(\left(\frac{-i}{\hbar}\right) \hat{p} x_0\right)$ .

3. Soit  $\tilde{\psi}(p) = \langle p | \psi \rangle$ . En suivant le même calcul que ci-dessus, le générateur des boosts est  $\hat{b} = -i\hbar \frac{\partial}{\partial p}$ . Or on sait que  $\hat{x} = i\hbar \frac{\partial}{\partial p}$  (cela se vérifie sur l'équation  $\langle p | \hat{x} | x \rangle = x \langle p | x \rangle = x \text{Cste } e^{-ipx/\hbar} = i\hbar \frac{\partial}{\partial p} \langle x | p \rangle$ ). Donc  $\hat{b} = -\hat{x}$ . On déduit que  $\hat{B}(p_0) = \exp\left(\left(\frac{-i}{\hbar}\right) (-\hat{x}) p_0\right)$ .

4. On déduit que  $e^{\hat{A}} e^{\hat{B}} = e^{\hat{B}} e^{\hat{A}} e^{[\hat{A}, \hat{B}]}$  et donc que  $e^{-\hat{A}} e^{-\hat{B}} e^{\hat{A}} e^{\hat{B}} = e^{[\hat{A}, \hat{B}]}$ . Dans le cas qui nous intéresse,  $e^{\hat{A}} = \hat{T}(x_0) = \exp\left(\left(\frac{-i}{\hbar}\right) \hat{p} x_0\right)$ , soit  $\hat{A} = \left(\frac{-i}{\hbar}\right) \hat{p} x_0$ , et  $e^{\hat{B}} = \hat{B}(p_0) = \exp\left(\left(\frac{-i}{\hbar}\right) (-\hat{x}) p_0\right)$ , soit  $\hat{B} = \left(\frac{-i}{\hbar}\right) (-\hat{x}) p_0$ . D'après  $[\hat{x}, \hat{p}] = i\hbar \hat{I}d$ , on obtient  $[\hat{A}, \hat{B}] = -\left(\frac{-i}{\hbar}\right) x_0 \left(\frac{-i}{\hbar}\right) p_0 [\hat{p}, \hat{x}] = -ix_0 p_0 / \hbar = -i\mathcal{S} / \hbar$ , donnant la relation recherchée.

$\mathcal{S} / (2\pi\hbar)$  est le nombre de cellules de Planck ( $2\pi\hbar$ ) contenues dans la surface  $\mathcal{S}$ . Ce nombre intervient dans la formule de Weyl, voir cours.

**Exercice 2.2.7 page 111** (voir aussi [DGLR89] p.378).

1. On a  $E_n = \hbar\omega \left(n + \frac{1}{2}\right)$

$$P_n = \frac{1}{Z} \exp(-E_n / (k_B T)) = \frac{1}{Z} e^{-\alpha(n+1/2)}$$

avec

$$\alpha = \frac{\hbar\omega}{kT} = \frac{\Theta}{T}$$

Calcul de la constante  $Z$  : il faut  $\sum_{n=0}^{\infty} P_n = 1$  (normalisation des probabilités). On a la série géométrique  $S_\alpha := \left(\sum_{n \geq 0} e^{-\alpha n}\right) = \frac{1}{1-e^{-\alpha}}$  donc

$$1 = \sum_{n=0}^{\infty} P_n = \frac{1}{Z} e^{-\alpha/2} S_\alpha$$

donc

$$Z = \frac{e^{-\alpha/2}}{1 - e^{-\alpha}}$$

Alors

$$\begin{aligned} \langle E_x \rangle &= \sum_{n=0}^{\infty} P_n E_n = \frac{\hbar\omega}{Z} \sum_n e^{-\alpha(n+1/2)} \left(n + \frac{1}{2}\right) \\ &= \frac{\hbar\omega}{Z} e^{-\alpha/2} \left(\sum_n n e^{-\alpha n} + \frac{1}{2} \sum_n e^{-\alpha n}\right) \end{aligned}$$

Il nous faut calculer

$$\sum_{n \geq 0} n e^{-\alpha n} = -\frac{d}{d\alpha} (S_\alpha) = \frac{e^{-\alpha}}{(1 - e^{-\alpha})^2}$$

Donc

$$\langle E_x \rangle = \left( \frac{\hbar\omega}{2} \right) \left( \frac{1 + e^{-\alpha}}{1 - e^{-\alpha}} \right) = \left( \frac{\hbar\omega}{2} \right) \coth \left( \frac{\alpha}{2} \right) = \left( \frac{k\Theta}{2} \right) \coth \left( \frac{\Theta}{2T} \right)$$

2. Pour l'énergie moyenne d'un atome à 3 dim :

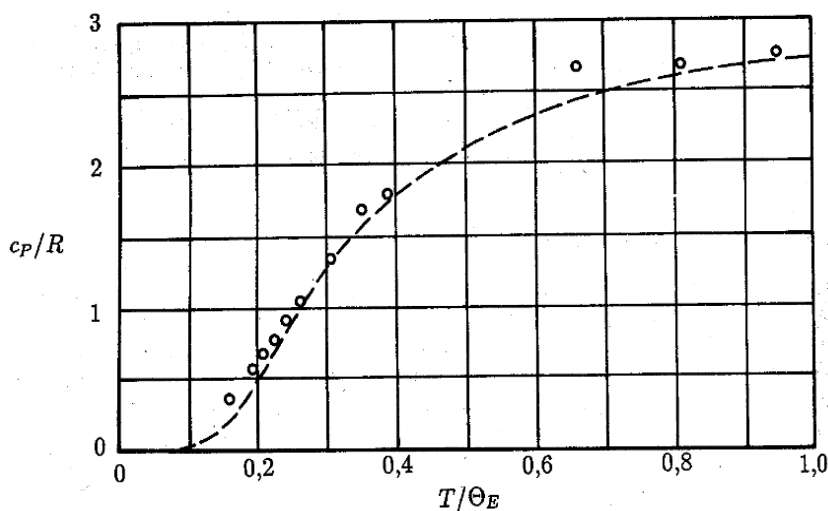
$$\begin{aligned} \langle E \rangle &= \langle E_x \rangle + \langle E_y \rangle + \langle E_z \rangle \\ &= 3 \left( \frac{k\Theta}{2} \right) \coth \left( \frac{\Theta}{2T} \right) \end{aligned}$$

Pour une mole d'atomes, l'énergie moyenne est  $\langle U \rangle = \mathcal{N} \langle E \rangle$  avec  $\mathcal{N} = \frac{R}{k}$  nombre d'Avogadro. Alors

$$\langle U \rangle = \frac{3R\Theta}{2} \coth \left( \frac{\Theta}{2T} \right)$$

et donc la capacité calorifique molaire est

$$C = \frac{d\langle U \rangle}{dT} = \frac{3R\Theta}{2} \frac{(-1)}{\sinh^2 \left( \frac{\Theta}{2T} \right)} \left( \frac{-\Theta}{2T^2} \right) = 3R \left( \frac{\Theta}{2T} \right)^2 \frac{1}{\sinh^2 \left( \frac{\Theta}{2T} \right)}$$



Pour  $T \ll \Theta$ , on a  $C \sim \frac{1}{T^2} e^{-\Theta/T} \rightarrow 0$ . On remarque que

$$\Theta = \frac{\hbar\omega}{k} = \frac{\hbar}{k} \sqrt{\frac{K}{m}}$$

où  $K$  est la "constante de raideur" de la liaison entre atomes. Donc **Corps dur (diamant)**  $\Leftrightarrow K$  élevé  $\Leftrightarrow \Theta$  élevé.

Pour  $T \gg \Theta$  on a  $C \rightarrow 3R$ . Cette valeur s'obtient aussi par le théorème d'équipartition de l'énergie (valable en mécanique classique pour des Hamiltoniens quadratiques seulement).

**Exercice 2.2.8 page 119**

1. On a  $\lambda_x = 2L/a$ ,  $\lambda_y = 2L/b$ ,  $\lambda_z = 2L/d$ , avec  $a, b, d \in \mathbb{N}^*$  entiers. Donc  $k_x = \frac{2\pi}{\lambda_x} = \frac{\pi}{L}a$ , etc.... La fréquence de ce mode  $(a, b, d)$  est  $\omega_{a,b,d} = ck = c(k_x^2 + k_y^2 + k_z^2)^{1/2} = \pi c \left( \frac{a^2}{L^2} + \frac{b^2}{L^2} + \frac{d^2}{L^2} \right)^{1/2}$ . L'énergie du vide quantique dans la boîte est alors (en pensant aux deux états de polarisations possibles)

$$\mathcal{E}(l) = 2 \sum_{a,b,d>0} \frac{1}{2} \hbar \omega_{a,b,d}$$

La divergence de  $\mathcal{E}(l)$  est due aux hautes fréquences  $\omega$ ; appelée **divergence ultraviolette**.

2. On a

$$\mathcal{E}(l) = \hbar \sum_{a,b,d>0} \omega e^{-\omega/\omega_c}$$

et  $\omega_{a,b,d} = \frac{\pi c}{L} \left( \left( \frac{l}{L} \right)^2 (a^2 + b^2) + d^2 \right)^{1/2}$ . Comme  $(l/L) \ll 1$ , on peut traiter  $a, b$  comme des variables continues dans la somme (approximation de Riemann d'une intégrale), et donc

$$\mathcal{E}(l) \simeq \hbar \sum_{d>0} \int da db \omega e^{-\omega/\omega_c}$$

Ensuite, on utilise des coordonnées polaires  $(a, b) \rightarrow (u, \theta)$ , c'est à dire  $(a^2 + b^2) = u^2$  et  $dad b = u du d\theta$ , et  $\theta = 0 \rightarrow \pi/2$ . Alors

$$\mathcal{E}(l) \simeq \hbar \left( \frac{\pi}{2} \right) \sum_{d>0} \int_0^\infty du u \omega e^{-\omega/\omega_c}$$

Finalement, le changement de variable  $u \rightarrow \omega = \frac{\pi c}{L} \left( \left( \frac{l}{L} \right)^2 u^2 + d^2 \right)^{1/2}$ , donne  $\omega d\omega = u du \left( \frac{\pi c}{L} \right)^2$  et

$$\begin{aligned} \mathcal{E}(l) &\simeq \hbar \left( \frac{\pi}{2} \right) \left( \frac{L}{\pi c} \right)^2 \sum_{d>0} \int_{\omega_0}^\infty d\omega \omega^2 e^{-\omega/\omega_c} \\ &= \frac{\hbar L^2}{2\pi c^2} \sum_{d>0} \frac{d^2}{d\alpha^2} \int_{\omega_0}^\infty d\omega e^{-\alpha\omega} \\ &= \frac{\hbar L^2}{2\pi c^2} \sum_{d>0} \frac{d^2}{d\alpha^2} \left( \frac{1}{\alpha} e^{-\alpha\omega_0} \right) \end{aligned}$$

avec  $\omega_0 = \frac{\pi c}{L} d$ , et  $\alpha = 1/\omega_c$ . Ensuite  $\sum_{d>0} e^{-\alpha\omega_0} = \sum_{d>0} \left( e^{-\alpha \frac{\pi c}{L}} \right)^d = \frac{-e^{-\alpha \frac{\pi c}{L}}}{1 - e^{-\alpha \frac{\pi c}{L}}} =$

$\frac{1}{e^{\alpha \frac{\pi c}{l}} - 1}$  (suite géométrique). Donc

$$\begin{aligned}\mathcal{E}(l) &= \frac{\hbar L^2}{2\pi c^2} \frac{d^2}{d\alpha^2} \left( \frac{1}{\alpha e^{\alpha \frac{\pi c}{l}} - 1} \right) \\ &= \frac{\hbar c \pi^2 L^2}{2l^3} \frac{d^2}{dx^2} \left( \frac{1}{x(e^x - 1)} \right)\end{aligned}$$

avec  $x = \alpha \pi c / l = \pi c / (\omega_c l)$ .

3. Ensuite

$$\frac{1}{x(e^x - 1)} = \frac{1}{x^2} - \frac{1}{2x} + \frac{1}{12} - \frac{1}{30 \times 24} x^2 + O(x^3)$$

donc

$$\frac{d^2}{dx^2} \left( \frac{1}{x(e^x - 1)} \right) = \frac{6}{x^4} - \frac{1}{x^3} - \frac{1}{15 \times 24} + O(x)$$

et

$$\begin{aligned}\mathcal{E}(l) &= \frac{\hbar c \pi^2 L^2}{2l^3} \left( 6 \left( \frac{\omega_c l}{\pi c} \right)^4 - \left( \frac{\omega_c l}{\pi c} \right)^3 - \frac{1}{15 \times 24} + O(1/\omega_c) \right) \\ &= \frac{\hbar c \pi^2 L^2}{2} \left( 6 \left( \frac{\omega_c}{\pi c} \right)^4 l - \left( \frac{\omega_c}{\pi c} \right)^3 - \frac{1}{15 \times 24} \frac{1}{l^3} + O(1/\omega_c) \right)\end{aligned}$$

4. On a

$$\begin{aligned}U(l) &= \mathcal{E}(l) + \mathcal{E}(L-l) = \frac{\hbar c \pi^2 L^2}{2} \left( 6 \left( \frac{\omega_c}{\pi c} \right)^4 L - \frac{1}{15 \times 24} \left( \frac{1}{l^3} + \frac{1}{(L-l)^3} \right) + \dots \right) \\ &\simeq \frac{\hbar c \pi^2 L^2}{2} \left( 6 \left( \frac{\omega_c}{\pi c} \right)^4 L - \frac{1}{15 \times 24} \left( \frac{1}{l^3} \right) + \dots \right),\end{aligned}$$

pour  $L \gg l$ . Donc  $F_{Casimir}(l) = -\frac{dU}{dl} = -\frac{\hbar c \pi^2 L^2}{2} \left( \frac{3}{15 \times 24} \frac{1}{l^4} + \dots \right)$  et pour  $\omega_c \rightarrow \infty$ , les termes suivants s'annulent, donc

$$F_{Casimir}(l) = -\frac{\hbar c \pi^2 L^2}{240} \frac{1}{l^4}$$

### Exercice 2.2.13 page 126

1. Utiliser la relation (A.2.1), qui s'applique car  $[\hat{q}, \hat{p}] = i\hbar Id$ ,  $[a, a^+] = Id$ .
2. Utiliser les expressions (2.2.29), et pour montrer la dernière ligne, le fait que  $a|0\rangle = 0$ , donc  $\exp(-\bar{z}a)|0\rangle = \sum_n \frac{(-\bar{z}a)^n}{n!} |0\rangle = |0\rangle$ .
3. Calculer  $d(e^{\alpha a}|qp\rangle)/d\alpha$  en  $\alpha = 0$ .

**Exercice 2.2.15 page 128**

1. On vérifie que cette représentation par des matrices  $3 \times 3$  vérifie bien les règles (2.2.15). Par exemple, on calcule :  $[\varphi(a), \varphi(a^+)] = \varphi(a)\varphi(a^+) - \varphi(a^+)\varphi(a) = \dots = \varphi(\hat{I})$  ; etc...

2. On a  $\hat{Q} = \frac{1}{\sqrt{2}}(a + a^+)$ , donc  $\varphi(-i\alpha'\hat{Q}) = (-i\alpha')\frac{1}{\sqrt{2}} \begin{pmatrix} 0 & 1 & 0 \\ 0 & 0 & 1 \\ 0 & 0 & 0 \end{pmatrix}$ , et  $\varphi(\exp(-i\alpha'\hat{Q})) =$

$$\exp\left(\varphi(-i\alpha'\hat{Q})\right) = \begin{pmatrix} 1 & (-i\alpha')/\sqrt{2} & -\alpha'^2/4 \\ 0 & 1 & (-i\alpha')/\sqrt{2} \\ 0 & 0 & 1 \end{pmatrix}. \text{ Pour cette dernière égalité,}$$

on utilise le fait que, posant  $M = \begin{pmatrix} 0 & 1 & 0 \\ 0 & 0 & 1 \\ 0 & 0 & 0 \end{pmatrix}$ , on a  $M^2 = \begin{pmatrix} 0 & 0 & 1 \\ 0 & 0 & 0 \\ 0 & 0 & 0 \end{pmatrix}$  et

$M^n = 0$  pour  $n > 2$ . Donc  $\exp(\lambda M) = \sum_{n \geq 0} \frac{1}{n!} (\lambda M)^n = M^0 + \lambda M + \frac{1}{2} \lambda^2 M^2 =$

$$\begin{pmatrix} 1 & \lambda & \lambda^2/2 \\ 0 & 1 & \lambda \\ 0 & 0 & 1 \end{pmatrix}. \text{ On procède de même pour les quatre autres expressions. Finalement, on calcule le produit de matrices, }^1 :$$

$$\begin{aligned} \varphi(\exp(-i\gamma'\hat{I})) \varphi(\exp(-i\alpha'\hat{Q})) \varphi(\exp(-i\beta'\hat{P})) \varphi(\exp(-i\theta\hat{n})) \\ = \begin{pmatrix} 1 & A' & B' \\ 0 & e^{-i\theta} & C' \\ 0 & 0 & 1 \end{pmatrix} \end{aligned}$$

$$A' = -\bar{z}'e^{-i\theta}, \quad B' = -i\gamma' + \frac{1}{2}|z'|^2 - \frac{i}{2}\Im(z'^2), \quad C' = z'$$

que l'on identifie avec (2.2.37), pour obtenir (2.2.34).

**Exercice 2.3.2 page 133**  $E_F \simeq 3eV$ ,  $V_F \simeq 10^6 m/s$ .

**Exercice 6 page 133**

1. Un mode occupe le volume élémentaire  $\Delta^3 \vec{x} \Delta^3 \vec{k} = (2\pi)^3$  dans l'espace de phase  $(\vec{x}, \vec{k})$ . Considérons un intervalle de fréquence  $d\nu$ . D'après  $\omega = 2\pi\nu = ck$ , cela correspond à

$$dk = \frac{2\pi}{c} d\nu$$

et à un volume dans l'espace  $\vec{k}$  de

$$\mathcal{V}_k = 4\pi k^2 dk$$

---

1. Pour ces produits de matrices, ainsi que ces exponentielles de matrices, on aura intérêt à utiliser un logiciel de calcul formel (comme Maple, Mathematica ou Xcas qui est un logiciel gratuit et libre).

(volume de la sphère de rayon  $k$  et épaisseur  $dk$ ). Donc dans un volume  $V$  et un intervalle de fréquence  $d\nu$  contiennent

$$dn = 2(V \mathcal{V}_k) / (2\pi)^3$$

modes. Le facteur 2 tient compte des deux états de polarisation possibles d'un mode (droite/gauche). Donc

$$dn = \frac{2V \left( 4\pi k^2 \frac{(2\pi)}{c} d\nu \right)}{(2\pi)^3} = \frac{8\pi V \nu^2}{c^3} d\nu$$

2. On a  $\langle N_{mode} \rangle = \sum_{N=0}^{\infty} P_N N$ , avec la probabilité  $P_N = \frac{1}{Z} \exp(-E_N/kT)$ . Comme  $1 = \sum_N P_N$ , on déduit que la constante  $Z$  est donnée par

$$\begin{aligned} Z &= \sum_N \exp(-E_N/kT) = \sum_N \exp(-\alpha(N + 1/2)) \\ &= e^{-\alpha/2} \underbrace{\sum_{N \geq 0} e^{-\alpha N}}_S \end{aligned}$$

avec  $\alpha = (\hbar\omega) / kT$  et la série géométrique  $S = \sum_{N \geq 0} e^{-\alpha N} = \frac{1}{1 - e^{-\alpha}}$ . Alors

$$\begin{aligned} \langle N_{mode} \rangle &= \sum_{N=0}^{\infty} P_N N \\ &= \frac{1}{Z} \sum_N N \exp(-\alpha(N + 1/2)) \\ &= \frac{1}{e^{-\alpha/2} S} e^{-\alpha/2} \left( -\frac{dS}{d\alpha} \right) = \frac{1}{S} \left( -\frac{dS}{d\alpha} \right) = \frac{1}{e^{\alpha} - 1} \\ &= \frac{1}{e^{h\nu/(kT)} - 1} \end{aligned}$$

appelée **distribution de Bose-Einstein**. Ensuite

$$\frac{dN}{d\nu} = \frac{dN}{dn} \frac{dn}{d\nu} = \langle N_{mode} \rangle \frac{dn}{d\nu}$$

$$3. u(\nu) = \frac{1}{V} (h\nu) \frac{dN}{d\nu} = \frac{8\pi h\nu^3}{c^3 \left( e^{\frac{h\nu}{kT}} - 1 \right)}$$



1. Un mode occupe  $\Delta^3 \vec{x} \Delta^3 \vec{k} = (2\pi)^3$ . Considérons un intervalle de fréquence  $d\nu$ . Pour les ondes S, cela correspond à  $dk = \frac{2\pi}{v_S} d\nu$ , et un volume dans l'espace  $\vec{k}$  de  $\mathcal{V}_k = 4\pi k^2 dk$  (volume de la sphère de rayon  $k$  et épaisseur  $dk$ ). Donc dans un volume  $V$  et un intervalle de fréquence  $d\nu = \frac{v_S}{2\pi} dk$  contiennent  $dn_S = 2(V \mathcal{V}_k) / (2\pi)^3$  modes. Le facteur 2 tient compte des deux états de polarisation possibles d'un mode. Donc

$$dn_S = \frac{2(4\pi)V\nu^2 d\nu}{v_S^3}$$

de même pour les ondes P :

$$dn_P = \frac{(4\pi)V\nu^2 d\nu}{v_P^3}$$

2. D'après l'hypothèse d'équidistribution entre les modes, le rapport d'énergie est égal au rapport du nombre de modes :

$$\frac{E_P}{E_S} = \frac{dn_P}{dn_S} = \frac{1}{2} \left( \frac{v_S}{v_P} \right)^3 = \frac{1}{2(1,73)^3} \simeq \frac{1}{10}$$

### Exercice 9 page 136

1. On a  $\hat{T}_q \hat{B}_p = \exp(-iq\hat{p}/\hbar) \exp(ip\hat{x}/\hbar)$ . Utiliser (A.2.1), avec  $A = -iq\hat{p}/\hbar$ ,  $B = ip\hat{x}/\hbar$ ,  $[A, B] = (qp/\hbar^2)(-i\hbar)$  donnant  $e^A e^B = e^B e^A e^{[A, B]}$  donc  $\hat{T}_q \hat{B}_p = e^{-iS/\hbar} \hat{B}_p \hat{T}_q$ , avec  $S = qp$  qui est la surface du carré dans l'espace de phase concerné par les translations. En terme de mécanique analytique, c'est une action. Les opérateurs commutent lorsque  $S = nh$ ,  $n \in \mathbb{N}$  c'est à dire lorsque la surface contient un nombre entier de cellules de Planck.
2. Utiliser (A.2.1) :  $e^A e^B = e^{A+B} e^{\frac{1}{2}[A, B]}$ . On a  $B = i(P_2 - P_1)(\hat{Q} - Q_1) - i(Q_2 - Q_1)(\hat{P} - P_1)$ ,  $A = i(P_3 - P_2)(\hat{Q} - Q_2) - i(Q_3 - Q_2)(\hat{P} - P_2)$ , et  $\frac{1}{2}[A, B] = -\frac{i}{2}(P_2 - P_1)(Q_3 - Q_2) + \frac{i}{2}(Q_2 - Q_1)(P_3 - P_2) = -\frac{i}{2} \vec{23} \wedge \vec{12} = -iS/\hbar$  : produit vectoriel et  $S$  est la surface hachurée (dans les unités  $q, p$ ). On a  $S/\hbar = \frac{1}{2}(P_2 Q_3 - P_1 Q_3 + P_1 Q_2 - Q_2 P_3 + Q_2 P_1 - P_3 Q_1)$ . On a donc

$$\hat{D}_{2,3} \hat{D}_{1,2} = e^{-iS/\hbar} \exp(A + B) = e^{-iS/\hbar} \exp\left(i(P_3 - P_1)\hat{Q} - i(Q_3 - Q_1)\hat{P}\right) \exp\left(i(-P_2 Q_1 + Q_2 P_1 - P_3 Q_1)\right)$$

. Par ailleurs,

$$\begin{aligned} \hat{D}_{1,3} &= \exp\left(i(P_3 - P_1)(\hat{Q} - Q_1) - i(Q_3 - Q_1)(\hat{P} - P_1)\right) \\ &= \exp\left(i(P_3 - P_1)\hat{Q} - i(Q_3 - Q_1)\hat{P}\right) \exp\left(i(-P_3 Q_1 + Q_3 P_1)\right) \end{aligned}$$

. Finalement,  $\hat{D}_{2,3} \hat{D}_{1,2} = \hat{D}_{1,3} e^{-iS/\hbar} e^{i2S/\hbar} = e^{+iS/\hbar} \hat{D}_{1,3}$ .

3. Par récurrence.

**Exercice 10 page 137**

1.  $H(q, p) = H(q_0, p_0) + (q - q_0) \cdot \frac{\partial H}{\partial q} + (p - p_0) \cdot \frac{\partial H}{\partial p} + o(\Delta q, \Delta p)$ , avec  $\Delta q = q - q_0$ ,  $\Delta p = p - p_0$ .
2.  $\hat{H}|q_0, p_0 \rangle \simeq \left( H(q_0, p_0) Id + (\hat{q} - q_0) \cdot \frac{\partial H}{\partial q} + (\hat{p} - p_0) \cdot \frac{\partial H}{\partial p} \right) |q_0, p_0 \rangle$ . (On a remplacé  $q$  et  $p$  par les  $\hat{q}$  et  $\hat{p}$ ).
3. Ainsi

$$\begin{aligned} \hat{U}(\Delta t)|q_0, p_0 \rangle &= \exp\left(-i\hat{H}\Delta t/\hbar\right)|q_0, p_0 \rangle \\ &\simeq \exp\left(-i\left(H(q, p) Id + (\hat{q} - q_0) \cdot \frac{\partial H}{\partial q} + (\hat{p} - p_0) \cdot \frac{\partial H}{\partial p}\right)\Delta t/\hbar\right)|q_0, p_0 \rangle \end{aligned}$$

donc  $\hat{U}(\Delta t)|q_0, p_0 \rangle = \exp(-iE\Delta t/\hbar)\hat{D}_{0,1}|q_0, p_0 \rangle$ , avec  $q_1 - q_0 = \frac{\partial H}{\partial p}\Delta t$  et  $p_1 - p_0 = -\frac{\partial H}{\partial q}\Delta t$  sont les déplacements du point  $(q_0, p_0)$  par la dynamique classique, et  $E = H(q_0, p_0)$  est l'énergie du point classique, conservée au cours du temps. Sur la durée  $\Delta t$  infinitésimale, le paquet d'onde est donc translaté dans l'espace de phase, comme le point classique.

4. Alors en sommant des déplacements infinitésimaux,

$$\hat{U}(t)|q_0, p_0 \rangle \simeq \exp(-iEt/\hbar) \prod_{i=0}^{N-1} \hat{D}_{i,i+1}|q_0, p_0 \rangle = \exp(-iEt/\hbar) \exp(iS/\hbar) \hat{D}_{0,M(t)}|q_0, p_0 \rangle$$

, où  $M(t)$  est l'évolution classique.

5. On a  $\hat{U}(t')|\phi \rangle = \int_0^T e^{iE(t+t'-t')/\hbar} \hat{U}(t+t')|q_0, p_0 \rangle = e^{-iEt'/\hbar} \int_0^{T+t'} e^{iEt/\hbar} \hat{U}(t)|q_0, p_0 \rangle dt = e^{-iEt'/\hbar}|\phi \rangle$ , à condition que  $e^{iET/\hbar}\hat{U}(T)|q_0, p_0 \rangle = |q_0, p_0 \rangle$ , car alors

$$\int_T^{T+t'} e^{iEt/\hbar} \hat{U}(t)|q_0, p_0 \rangle dt = \int_0^{t'} e^{iEt/\hbar} \hat{U}(t)|q_0, p_0 \rangle dt$$

6. D'après ci-dessus, la condition s'écrit :  $\exp(iS/\hbar) \hat{D}_{0,M(T)}|q_0, p_0 \rangle = |q_0, p_0 \rangle$ , où  $S$  est la surface de la trajectoire (action). Or  $M(T) = M(0)$ , donc il faut  $\exp(iS/\hbar) = 1$ , soit

$$S = hn, \quad n \in \mathbb{N}$$

appelée **règle de quantification de Bohr-Sommerfeld** : la surface doit contenir un nombre entier de cellules de Planck.

Pour l'oscillateur Harmonique, cela donne (voir section précédente)  $E_n \simeq \hbar\omega n$ . (Il manque l'indice 1/2).

**Exercice 2.3.3 page 140** (Voir [CBF] p571). On a  $J = \int_{-\infty}^{+\infty} \int_{-\infty}^{+\infty} \frac{1}{2\pi\hbar} dx dp |x, p, \sigma\rangle \langle x, p, \sigma| = \int_{-\infty}^{+\infty} \int_{-\infty}^{+\infty} \frac{1}{2\pi\hbar} dx dp D(z)|0\rangle \langle 0|D^\dagger(z)$ . Or  $D(z)|0\rangle = \exp\left(-\frac{|z|^2}{2}\right) \exp(za^+) \exp(-\bar{z}a^-)|0\rangle = \exp\left(-\frac{|z|^2}{2}\right) e^{za^+}|0\rangle$ . Or  $e^{za^+}|0\rangle = \sum_{n \geq 0} \frac{z^n a^{+n}}{n!}|0\rangle = \sum_{n \geq 0} \frac{z^n}{\sqrt{n!}}|n\rangle$ .

Donc  $J = \sum_{n,n'} \int \frac{dx dp}{h} \frac{z^n \bar{z}^{n'}}{\sqrt{n!n'}} e^{-|z|^2} |n\rangle \langle n'|$ . Mais d'une part  $\frac{dx \wedge dp}{h} = dQ \wedge dP$  et  $\int dQ dP z^n \bar{z}^{n'} e^{-|z|^2} = \int d\rho d\theta e^{-\rho^2} \rho^{n+n'} e^{i\theta(n-n')} = n! \delta_{n,n'}$  en coordonnées polaires  $(\rho, \theta)$  et intégration sur  $\rho$  par parties. Donc  $J = \sum_{n \geq 0} |n\rangle \langle n| = \hat{I}$ . De façon plus élégante, cette relation de fermeture est une simple conséquence du lemme de Schur (théorie des groupes) voir [Per86] p.15.

**Exercice 8 page 136** @@ revoir, voir correction de JJB @@

1. Le Hamiltonien classique est :

$$H(\vec{x}, \vec{p}) = \frac{\vec{p}^2}{2m} - \frac{e^2}{4\pi\epsilon_0 r}$$

Soit une valeur  $E < 0$  fixée. On cherche le volume de l'espace de phase des points :

$$\Sigma_E = \{(\vec{x}, \vec{p}) / H(\vec{x}, \vec{p}) \leq E\}$$

On utilise naturellement les coordonnées sphériques :  $\vec{p} \equiv (p, \varphi_p, \theta_p)$  et  $\vec{x} \equiv (r, \varphi, \theta)$ . Alors (utilisant  $d\vec{x} = r^2 dr \sin \theta d\theta d\varphi$ )

$$\begin{aligned} \mathcal{V}(E) &= Vol(\Sigma_E) = \int_{\Sigma_E} d\vec{x} d\vec{p} \\ &= (4\pi)^2 \int_{E \geq \frac{p^2}{2m} - \frac{e^2}{4\pi\epsilon_0 r}} r^2 p^2 dr dp \\ &= (4\pi)^2 \frac{e^4}{3(4\pi\epsilon_0)^2} \int_0^\infty p^2 dp \frac{1}{\left(\frac{p^2}{2m} - E\right)^3} \\ &= (4\pi)^2 \frac{e^4}{3(4\pi\epsilon_0)^2} \left( \frac{m^{3/2}\pi}{4\sqrt{2}(-E)^{3/2}} \right) = \frac{e^4 m^{3/2} \pi}{12\sqrt{2}(-E)^{3/2} \epsilon_0^2} \end{aligned}$$

Ensuite d'après (2.3.2),

$$N(E) = \frac{\mathcal{V}(E)}{h^3} = \frac{e^4 m^{3/2} \pi}{12\sqrt{2}(-E)^{3/2} \epsilon_0^2 h^3}$$

2. On déduit la densité de niveaux semi-classique  $\rho_{sc}(E) = \frac{dN}{dE} = \frac{e^4 m^{3/2} \pi}{8\sqrt{2}(-E)^{5/2} \epsilon_0^2 h^3}$ , qui est une expression valable lorsque les niveaux deviennent denses, c'est à dire pour  $E \rightarrow 0^-$ .
3. A partir de l'expression  $E_n^{exact} = -\frac{\epsilon_1}{n^2}$  avec  $\epsilon_1 = \frac{me^4}{2h^2} = 13,6 \text{ eV}$ , on a (sans oublier la dégénérescence du niveau  $E_n$  qui est  $n^2$ )  $dN = n^2 dn$  donc  $dN/dE = n^2 dn/dE = \frac{1}{2} \frac{m^{3/2} e^6}{2^{3/2} h^3 (-E)^{5/2}}$ .

@@

### B.3 Chapitre 3

**Exercice 3.1.2 page 149** on a  $\vec{x} = R^{-1}\vec{x}'$  et la valeur de la fonction d'onde n'est pas changée lors de la rotation :  $\psi'(\vec{x}') = \psi(\vec{x})$ , donc :

$$\psi'(\vec{x}') = \psi(R^{-1}\vec{x}') \quad (\text{B.3.1})$$

(situation semblable au cas de la translation, figure (2.1.1)).

On peut obtenir le même résultat avec la notation d'opérateurs :  $\psi'(\vec{x}') = \langle \vec{x}' | R | \psi \rangle = \langle R^+ \vec{x}' | \psi \rangle = \langle R^{-1} \vec{x}' | \psi \rangle = \psi(R^{-1}\vec{x}')$ , où on a utilisé le fait que l'opérateur rotation est unitaire.

**Exercice 3.3.1 page 169 Électrons bidimensionnels dans un champ magnétique constant, avec un potentiel périodique : le spectre fractal de Hofstadter.**<sup>2</sup>

1.  $\vec{B} = \text{rot}(\vec{A}) = (\partial_x A_y - \partial_y A_x) \vec{e}_z = B \vec{e}_z$ . Alors

$$\begin{aligned} H(x, p_x, y, p_y) &= \frac{1}{2m} (\vec{p} - e\vec{A})^2 + V(x, y) \\ &= \frac{1}{2m} \left( \left( p_x + \frac{eB}{2} y \right)^2 + \left( p_y - \frac{eB}{2} x \right)^2 \right) + V(x, y) \end{aligned}$$

2. Pour les unités,  $[Q] \equiv \frac{[p_x]}{[\sqrt{\hbar e B}]} \equiv \frac{[p_x]}{\sqrt{[p_x] m [p_x] / m}} \equiv 1$  (pensant à  $\frac{d\vec{p}}{dt} \equiv e\vec{v} \wedge \vec{B}$ ) et  $[q] \equiv \frac{[p_x]}{[eBX]} \equiv \frac{[p_x]}{([p_x]/m)m} \equiv 1$ . Donc  $(\hat{Q}, \hat{P}, \hat{q}, \hat{p})$  sont sans dimension. A partir de  $[\hat{x}, \hat{p}_x] = i\hbar$  et  $[\hat{y}, \hat{p}_y] = i\hbar$ , on calcule

$$[\hat{Q}, \hat{P}] = i, \quad [\hat{q}, \hat{p}] = i \hbar_{eff}$$

et les autres commutateurs sont nuls. On a finalement :

$$2\pi \hbar_{eff} = \frac{\phi_0}{\phi}$$

3. On obtient

$$H(Q, P, q, p) = \frac{\hbar\omega}{2} (P^2 + Q^2) + V\left(-X \left(p + \sqrt{\hbar_{eff} P}\right), -X \left(q + \sqrt{\hbar_{eff} Q}\right)\right)$$

---

2. Ce spectre a été étudié dans *D. Hofstadter, "Energy levels and wave functions of Bloch electrons in rational and irrational magnetic fields" Phys.Rev.B 14,2239, (1976)*. Il est (partiellement) observé expérimentalement dans : *Albrecht et al. "Evidence of the Hofstadter Fractal energy spectrum in the Quantized Hall Conductance" Phys.Rev.Lett. 86,147 (2001)*. Chercher "hofstadter butterfly" dans Google.

4. Si  $V = 0$ , alors  $H(Q, P, q, p) = \frac{\hbar\omega}{2} (P^2 + Q^2)$  est un oscillateur harmonique. Ses niveaux d'énergie (**niveaux de Landau**) sont donc :

$$E_n = \hbar\omega \left( n + \frac{1}{2} \right), \quad n = 0, 1, 2, \dots$$

mais les variables  $(q, p)$  n'interviennent pas. Cela montre que chaque niveau est infiniment dégénéré (comme la dimension de l'espace de Hilbert des opérateurs  $\hat{q}, \hat{p}$ ).

**(La suite est facultative)**

5. La périodicité est 1 selon  $q$  et selon  $p$ . Les générateurs des translations sont respectivement  $(\hat{p}, -\hat{q})$ , et  $[\hat{q}, \hat{p}] = i \hbar_{eff}$ . Par conséquent

$$\hat{T}_q = \exp(-i\hat{p}/\hbar_{eff}), \quad \hat{T}_p = \exp(i\hat{q}/\hbar_{eff}).$$

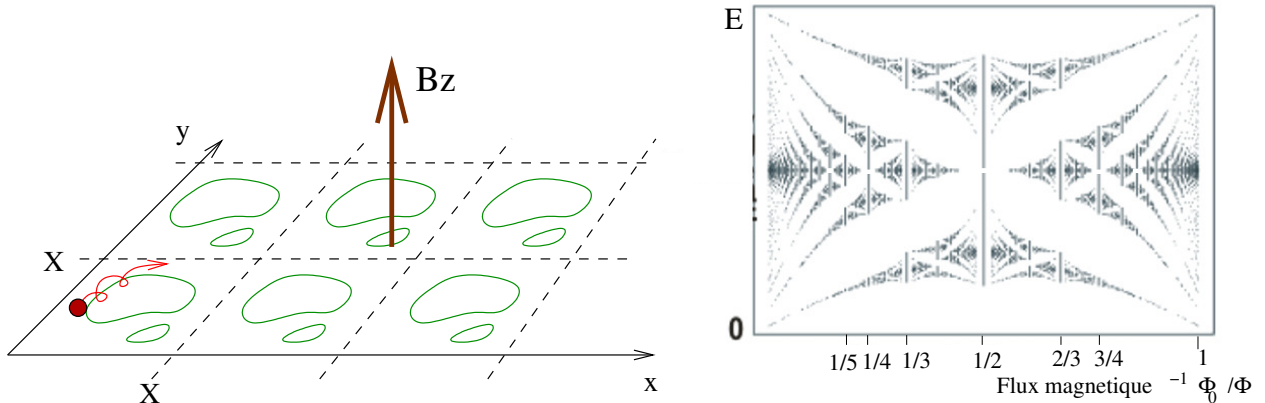
6. La relation de Glauber donne  $\hat{T}_q \hat{T}_p = e^{[-i\hat{p}/\hbar_{eff}, i\hat{q}/\hbar_{eff}]} \hat{T}_p \hat{T}_q = e^{\frac{-i2\pi}{2\pi\hbar_{eff}}} \hat{T}_p \hat{T}_q$ . Donc  $[\hat{T}_q, \hat{T}_p] = 0$  si et seulement si

$$\frac{1}{2\pi\hbar_{eff}} = N \in \mathbb{N} \quad : \text{ entier}$$

Cela donne  $\frac{\phi}{\phi_0} = \frac{1}{2\pi\hbar_{eff}} = N$ . Autrement dit, il doit y avoir un nombre entier de quanta de flux à travers la surface élémentaire  $X^2$ .

A.N. :  $N = \frac{X^2 e B}{h}$ , avec  $X = 2.10^{-7} m$ ,  $B = 0,21 T.$ ,  $h = 6,6.10^{-34} J.s.$ ,  $e = 1,6.10^{-19} C$ ,  $N = \frac{10^{-14} 41,6.10^{-19} 0,21}{6,6.10^{-34}} \simeq 2$ .

7. Avec cette condition, on peut (comme dans la théorie de Bloch), chercher les états stationnaires parmi les vecteurs propres communs de  $\hat{T}_q$  et  $\hat{T}_p$  qui vérifient,  $\hat{T}_q|\psi\rangle = e^{i\theta_1}|\psi\rangle$  et  $\hat{T}_p|\psi\rangle = e^{i\theta_2}|\psi\rangle$ . Les états stationnaires ainsi trouvés  $|\psi_n(\theta_1, \theta_2)\rangle$  vont dépendre des paramètres continus  $(\theta_1, \theta_2)$  et d'un indice discret  $n$ . Cela donnera un spectre en bandes. Chaque bande est indiquée par  $n$ .
8. Avec les notation ci-dessus, appelons  $\mathcal{H}(\theta_1, \theta_2)$  l'espace des fonctions de Bloch vérifiant  $\hat{T}_q|\psi\rangle = e^{i\theta_1}|\psi\rangle$  et  $\hat{T}_p|\psi\rangle = e^{i\theta_2}|\psi\rangle$ . Comme  $\hat{T}_q|\psi\rangle = e^{i\theta_1}|\psi\rangle$ , la fonction d'onde  $\psi(q)$ , est périodique (à une phase près), de période 1. Par conséquent, sa transformée de Fourier  $\tilde{\psi}(p)$  est discrète, avec un pas  $\Delta p = \hbar_{eff} = \frac{1}{N}$ . Or  $\hat{T}_p|\psi\rangle = e^{i\theta_2}|\psi\rangle$ , ce qui signifie que  $\tilde{\psi}(p)$  est elle même périodique, de période 1. Dans l'intervalle  $p \in [0, 1[$  il y a  $1/\Delta p = N$  composantes, et l'état  $|\psi\rangle$  n'a donc que  $N$  composantes indépendantes. L'espace des fonctions de Bloch  $\mathcal{H}(\theta_1, \theta_2)$  est donc de dimension  $N$ . Avec la perturbation  $V$ , le premier niveau de Landau perd sa dégénérescence et il apparait donc  $N$  bandes de Bloch. (Cela est aussi vrai pour les autres niveaux de Landau).



9. La condition  $2\pi\hbar_{eff} = \frac{1}{N}$  est exceptionnelle. Par contre, si  $2\pi\hbar_{eff} = \frac{h}{eBX^2} = \frac{\phi_0}{\phi} = \frac{a}{b} \in \mathbb{Q}$ , on considère une cellule de base de côtés  $X$  et  $Y = aX$ , donc de surface  $XY = aX^2$ . Pour cette cellule de base, la constante effective  $2\pi\hbar'_{eff} = \frac{2\pi\hbar}{eB(XY)} = \frac{1}{b}$ . Donc  $(2\pi\hbar'_{eff})^{-1} = b \in \mathbb{N}$  est entier, les résultats précédents s'appliquent et on déduit que le spectre est formé de  $b$  bandes. Ainsi lorsque  $\phi/\phi_0$  varie continuellement, le dénominateur  $b$  (et donc le nombre de bandes) varie discontinuellement, ce qui explique l'aspect fractal du spectre obtenu. Voir figure.

### B.4 Chapitre 4

**Exercice 11 page 188** le résultat (4.5.1) montre que cette relation est vraie pour les trois vecteurs de base  $e_i$  de  $\mathbb{R}^3$ , ce qui peut s'écrire  $[\hat{S}_{e_i}, \hat{S}_{e_j}] = i\hbar\hat{S}_{e_i \wedge e_j} = i\hbar e_i \wedge e_j \cdot \hat{S}$ . Alors  $[\hat{S}_{\vec{U}}, \hat{S}_{\vec{V}}] = \sum_{i,j} [U_i \hat{S}_{e_i}, U_j \hat{S}_{e_j}] = \sum_{i,j} U_i U_j [\hat{S}_{e_i}, \hat{S}_{e_j}] = i\hbar \sum_{i,j} U_i U_j e_i \wedge e_j \cdot \hat{S} = i\hbar (\vec{U} \wedge \vec{V}) \cdot \hat{S}$ .

#### Exercice 4.4.1 page ??

1. Soit un état de spin 1/2 quelconque noté :

$$|\psi\rangle = a|+_z\rangle + b|-_z\rangle$$

avec  $a, b \in \mathbb{C}$ . Si  $b \neq 0$ , alors on écrit  $|\psi\rangle = b|\varphi\rangle$  avec  $|\varphi\rangle = z|+_z\rangle + |-_z\rangle$  et  $z = a/b$ . De façon très générale, les probabilités associées au résultat d'une mesure sur un état quantique, ne change pas si l'état est multiplié par une constante complexe. Plus précisément, si  $|\psi\rangle = b|\varphi\rangle$ , et  $\hat{A}$  est une observable (opérateur) :

$$\frac{\langle\psi|\hat{A}|\psi\rangle}{\langle\psi|\psi\rangle} = \frac{|b|^2 \langle\varphi|\hat{A}|\varphi\rangle}{|b|^2 \langle\varphi|\varphi\rangle} = \frac{\langle\varphi|\hat{A}|\varphi\rangle}{\langle\varphi|\varphi\rangle}$$

Par conséquent  $|\psi\rangle$  et  $|\varphi\rangle$  décrivent les même "états physiques"

2. On calcule

$$s_x = \frac{\langle \psi | \hat{S}_x | \psi \rangle}{\langle \psi | \psi \rangle} = \frac{1}{|a|^2 + |b|^2} \frac{\hbar}{2} (\bar{a}, \bar{b}) \begin{pmatrix} 0 & 1 \\ 1 & 0 \end{pmatrix} \begin{pmatrix} a \\ b \end{pmatrix} = \frac{\hbar}{2} \frac{2\Re(z)}{1 + |z|^2}$$

de même :

$$s_y = \frac{\langle \psi | \hat{S}_y | \psi \rangle}{\langle \psi | \psi \rangle} = -\frac{\hbar}{2} \frac{2\Im(z)}{1 + |z|^2}, \quad s_z = \frac{\langle \psi | \hat{S}_z | \psi \rangle}{\langle \psi | \psi \rangle} = \frac{\hbar}{2} \frac{|z|^2 - 1}{1 + |z|^2}$$

Donc  $s^2 = s_x^2 + s_y^2 + s_z^2 = \left(\frac{\hbar}{2}\right)^2$ . (Ne pas confondre  $s^2 = \langle S_x \rangle^2 + \langle S_y \rangle^2 + \langle S_z \rangle^2$  avec  $\langle S^2 \rangle = \hbar^2 \left(\frac{1}{2}\right) \left(\frac{1}{2} + 1\right)$ ).

3. En coordonnées sphériques  $(s, \theta, \varphi)$ ,  $s_x = \frac{\hbar}{2} \sin \theta \cos \varphi$ ,  $s_y = \frac{\hbar}{2} \sin \theta \sin \varphi$ ,  $s_z = \frac{\hbar}{2} \cos \theta$ , on obtient

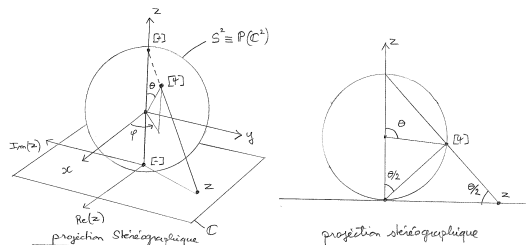
$$z\bar{z} = \frac{1 + 2\frac{s_z}{\hbar}}{1 - 2\frac{s_z}{\hbar}} = \frac{1 + \cos \theta}{1 - \cos \theta} = \cotg^2 \frac{\theta}{2}$$

et

$$z = (1 + |z|^2)^{-1/2} \left( \frac{s_x}{\hbar} - i \frac{s_y}{\hbar} \right) = \frac{1}{2} \left( 1 + \frac{\cos^2 \frac{\theta}{2}}{\sin^2 \frac{\theta}{2}} \right)^{-1/2} (\cos \varphi - i \sin \varphi) \sin \theta$$

donc  $z = \cotg \frac{\theta}{2} e^{-i\varphi}$ .

4. D'après les schémas :



### Exercice 12 page 189

1. On a vu en cours, que les générateurs  $\hat{S}_x, \hat{S}_y, \hat{S}_z$  s'expriment respectivement dans la base o.n.  $(|+_z\rangle, |-_z\rangle)$  par les matrices de Pauli  $(\frac{\hbar}{2}\sigma_x, \frac{\hbar}{2}\sigma_y, \frac{\hbar}{2}\sigma_z)$ ; ce sont des matrices hermitienne  $2 \times 2$  de trace nulle. Par conséquent, l'opérateur  $\hat{S}_{\vec{U}} = U_x \hat{S}_x + U_y \hat{S}_y + U_z \hat{S}_z = \vec{U} \cdot \vec{\hat{S}} \in \mathcal{R}$ ,  $\vec{U} = (U_x, U_y, U_z) \in \mathbb{R}^3$  (générateur des rotations du spin 1/2) s'exprime par la matrice  $\frac{\hbar}{2}\sigma_{\vec{U}}$  avec

$$\sigma_{\vec{U}} = U_x \sigma_x + U_y \sigma_y + U_z \sigma_z = \vec{U} \cdot \vec{\sigma} = \begin{pmatrix} U_z & U_x - iU_y \\ U_x + iU_y & -U_z \end{pmatrix}$$

2. Soit  $M \in SU(2)$ . On a (a) :  $M^+ = M^{-1}$  et (b) :  $\det(M) = 1$ . Écrivons  $M = \exp(-i\lambda G)$ , avec  $\lambda \in \mathbb{R}$ , et  $G$  matrice  $2 \times 2$  qui est un "générateur" i.e. élément de l'algèbre de Lie  $su(2)$ . Pour  $\lambda \rightarrow 0$ , la relation (a) donne  $(1 + i\lambda G^+) = (1 + i\lambda G)$ , soit  $G = G^+$ . La relation (b) donne  $1 = \det(M) = \exp(-i\lambda \text{Trace}(G))$ , donc  $\text{Trace}(G) = 0$ . (La relation matricielle très générale  $\det(M) = \exp(-i\lambda \text{Trace}(G))$ , se démontre en écrivant  $G$  dans une base propre, où elle est diagonale). Ainsi l'algèbre de Lie  $su(2)$  du groupe  $SU(2)$  est formé par les matrices hermitienne  $2 \times 2$  de trace nulle forme. Comme expliqué en (1),  $G$  est de la forme  $G = \begin{pmatrix} u_z & u_x - iu_y \\ u_x + iu_y & -u_z \end{pmatrix} = \vec{u} \cdot \vec{\sigma}$ , et donc les matrices de Pauli forment une base de cette algèbre.
3. Soit  $\varphi : \hat{O} \rightarrow M_{\hat{O}}$  l'application qui à un opérateur de  $\mathcal{H}_{spin}$  associe la matrice  $2 \times 2$ , qui est son expression dans la base  $(|+_z\rangle, |-_z\rangle)$ . On a vu que  $\varphi(\hat{S}_{\vec{U}}) = \frac{\hbar}{2}\sigma_{\vec{U}}$  et que  $\varphi : \mathcal{R}_{spin} \rightarrow su(2)$  est un isomorphisme d'algèbres de Lie. Pour  $\hat{R} \in R_{spin}$ , on a  $\varphi(\hat{R}) = \varphi\left(\exp\left(\frac{-i\hat{S}_{\vec{u}}\alpha}{\hbar}\right)\right) = \exp\left(\varphi\left(\frac{-i\hat{S}_{\vec{u}}\alpha}{\hbar}\right)\right) = \exp\left(-\frac{i}{2}\sigma_{\vec{U}}\right)$  qui montre que  $\varphi : R_{spin} \rightarrow SU(2)$  est un isomorphisme de groupes.

**Exercice 13 page 191** Voir eq(B.4.1). Cette fois ci l'opérateur de rotation agit à la fois sur l'espace ordinaire et sur le spin :  $\psi'_{\pm}(\vec{x}') = \langle \vec{x}', \pm | \hat{R} | \psi, \vec{s} \rangle = \langle R^+ \vec{x}', R^+ \pm | \psi, \vec{s} \rangle = \langle R^{-1} \vec{x}', R^{-1} \pm | \psi, \vec{s} \rangle$ , c'est à dire :

$$\begin{pmatrix} \psi'_+(\vec{x}') \\ \psi'_-(\vec{x}') \end{pmatrix} = \hat{R}_{spin}^{-1} \begin{pmatrix} \psi_+(R_{espace}^{-1} \vec{x}') \\ \psi_-(R_{espace}^{-1} \vec{x}') \end{pmatrix} \tag{B.4.1}$$

## B.5 Chapitre 7

**Exercice 6.5.1 Diffusion nucléon-pion page 277.** On a vu que  $\mathcal{D}_{1/2} \otimes \mathcal{D}_{1/2} = \mathcal{D}_0 \oplus \mathcal{D}_1$  qui est la décomposition de Clebsh-Gordan. Si  $\hat{H}$  est un opérateur vérifiant  $[\hat{H}, \vec{S}] = 0$  (invariance par rotation) alors d'après le **Lemme de Shur**,  $\hat{H}$  exprimé dans la décomposition  $\mathcal{D}_0 \oplus \mathcal{D}_1$  est de la forme bloc:

$$\hat{H} = \begin{pmatrix} \lambda \hat{I} & 0 \\ \underbrace{0}_{\mathcal{D}_0} & \underbrace{\mu \hat{I}}_{\mathcal{D}_1} \end{pmatrix}, \quad \lambda, \mu \in \mathbb{R}$$

Or on a vu que l'opérateur  $A \cdot \hat{I} + B \cdot \vec{S}_1 \cdot \vec{S}_2 = A + \frac{B}{2} \hbar^2 (J(J+1) - \frac{3}{2})$  s'exprime dans cette même décomposition par

$$\begin{pmatrix} E_0 = A - \frac{3}{4} B \hbar^2 & 0 \\ 0 & E_1 = A + \frac{1}{4} B \hbar^2 \end{pmatrix}$$

Il suffit donc de prendre  $A, B$  tels que  $A - \frac{3}{4} B \hbar^2 = \lambda$  et  $\mu = A + \frac{1}{4} B \hbar^2$ .

Plus généralement, pour le couplage  $\mathcal{D}_{j_1} \otimes \mathcal{D}_{j_2} = \oplus_{j=|j_2-j_1|}^{j_1+j_2} \mathcal{D}_j$ , un opérateur invariant



s'exprime comme  $\lambda_j \hat{I}$  sur chaque espace  $\mathcal{D}_j$  de la décomposition. Il y a donc  $N = j_2 + j_1 - |j_2 - j_1|$  paramètres indépendants  $\lambda_j$ . Comme l'opérateur de Casimir  $\vec{S}^2$  est  $\hbar^2 j(j+1) \hat{I}$  sur un espace  $\mathcal{D}_j$  (et distingue donc les espaces  $\mathcal{D}_j$ ) on déduit que un opérateur invariant peut s'exprimer sous la forme  $\hat{H} = \mu_0 \hat{I} + \mu_1 \vec{S}^2 + \mu_2 (\vec{S}^2)^2 + \dots + \mu_{N-1} (\vec{S}^2)^{N-1}$ . Il est possible de relier les  $(\mu_j)_j$  et les  $(\lambda_j)_j$ . De façon équivalente on pourrait utiliser  $(\vec{S}_1, \vec{S}_2)^k$  à la place de  $(\vec{S}^2)^k$ , les coefficients seraient différents.

### Exercice 6.5.2 Diffusion nucléon-pion page 283.

1. On a  $\mathcal{H}_{j=1} \otimes \mathcal{H}_{j=1/2} = \mathcal{H}_{j=1/2} \oplus \mathcal{H}_{j=3/2}$ , de dimensions  $3 \times 2 = 2 + 4 = 6$  (d'après  $\dim \mathcal{H}_j = 2j + 1$ ).
2. On obtient :

$$\begin{aligned} |p\pi^+\rangle &= \left| \frac{3}{2}; \frac{3}{2} \right\rangle \\ |p\pi^0\rangle &= \sqrt{2/3} \left| \frac{3}{2}; \frac{1}{2} \right\rangle - \sqrt{1/3} \left| \frac{1}{2}; \frac{1}{2} \right\rangle \\ |p\pi^-\rangle &= \sqrt{1/3} \left| \frac{3}{2}; -\frac{1}{2} \right\rangle - \sqrt{2/3} \left| \frac{1}{2}; -\frac{1}{2} \right\rangle \\ |n\pi^+\rangle &= \sqrt{1/3} \left| \frac{3}{2}; \frac{1}{2} \right\rangle + \sqrt{2/3} \left| \frac{1}{2}; \frac{1}{2} \right\rangle \\ |n\pi^0\rangle &= \sqrt{2/3} \left| \frac{3}{2}; \frac{1}{2} \right\rangle + \sqrt{1/3} \left| \frac{1}{2}; -\frac{1}{2} \right\rangle \\ |n\pi^-\rangle &= \left| \frac{3}{2}; -\frac{3}{2} \right\rangle \end{aligned}$$

3. Dans un espace de représentation irréductible,  $\hat{U}$  doit agir comme l'identité à une constante complexe près (Lemme de Shur). Donc dans la décomposition  $\mathcal{H}_{j=1/2} \oplus \mathcal{H}_{j=3/2}$  :

$$\hat{U} \equiv_{\mathcal{H}_{3/2} \oplus \mathcal{H}_{1/2}} \begin{pmatrix} A_{3/2} \hat{I}_4 & 0 \\ 0 & A_{1/2} \hat{I}_2 \end{pmatrix}$$

avec  $A_{3/2}, A_{1/2} \in \mathbb{C}$ .

4. On obtient :

$$\begin{aligned} \sigma(p\pi^+ \rightarrow p\pi^+) &= \left| \langle p, \pi^+ | \hat{U} | p, \pi^+ \rangle \right|^2 = |A_{3/2}|^2 \\ \sigma(p\pi^- \rightarrow n\pi^0) &= \left| \langle n, \pi^0 | \hat{U} | p, \pi^- \rangle \right|^2 = \left| \frac{\sqrt{2}}{3} A_{3/2} - \frac{\sqrt{2}}{3} A_{1/2} \right|^2 \\ \sigma(p\pi^- \rightarrow p\pi^-) &= \left| \langle p, \pi^- | \hat{U} | p, \pi^- \rangle \right|^2 = \left| \frac{1}{3} A_{3/2} + \frac{2}{3} A_{1/2} \right|^2 \end{aligned}$$

- (a) si  $|A_{3/2}| \gg |A_{1/2}|$ , alors  $\sigma(p\pi^+ \rightarrow p\pi^+) = |A_{3/2}|^2$ ,  $\sigma(p\pi^- \rightarrow n\pi^0) \simeq \frac{2}{9} |A_{3/2}|^2$ ,  
 $\sigma(p\pi^- \rightarrow p\pi^-) \simeq \frac{1}{9} |A_{3/2}|^2$ .
- (b) si  $|A_{3/2}| \ll |A_{1/2}|$ , alors  $\sigma(p\pi^+ \rightarrow p\pi^+) \simeq 0$ ,  $\sigma(p\pi^- \rightarrow n\pi^0) \simeq \frac{2}{9} |A_{1/2}|^2$ ,  $\sigma(p\pi^- \rightarrow p\pi^-) \simeq \frac{4}{9} |A_{1/2}|^2$ .
- (c) si  $A_{3/2} = A_{1/2}$ , alors  $\sigma(p\pi^+ \rightarrow p\pi^+) = |A_{3/2}|^2$ ,  $\sigma(p\pi^- \rightarrow n\pi^0) \simeq 0$ ,  $\sigma(p\pi^- \rightarrow p\pi^-) \simeq |A_{3/2}|^2$ .

5. L'expérience donne :

$$\frac{\sigma(p\pi^+ \rightarrow p\pi^+)}{\sigma(p\pi^- \rightarrow n\pi^0)} = 4.33 \simeq 4.5$$

$$\frac{\sigma(p\pi^+ \rightarrow p\pi^+)}{\sigma(p\pi^- \rightarrow p\pi^-)} = 8.47 \simeq 9$$

On est donc proche de la situation  $|A_{3/2}| \gg |A_{1/2}|$ .

6. Durée de vie  $\tau \simeq \frac{\hbar}{\Delta E} = 6.510^{-24} \text{s}$ . L'espace de degré interne d'isospin de cette particule  $\Delta$  est  $\mathcal{H}_{j=3/2}$ , de dimension  $2j + 1 = 4$ . D'après l'écriture  $|j = 3/2, m = 3/2\rangle = |p^+, \pi^+\rangle$ , etc... on déduit que  $|\Delta^{++}\rangle = |j = 3/2; m = 3/2\rangle$ ,  $|\Delta^+\rangle = |j = 3/2; m = 1/2\rangle$ ,  $|\Delta^0\rangle = |j = 3/2; m = -1/2\rangle$ ,  $|\Delta^-\rangle = |j = 3/2; m = -3/2\rangle$ .